

## تصویربرداری سه‌بعدی از سر و دم نمونه‌های قزل‌آلای رنگین‌کمان توسط میکروسکوپ لایه نوری

کافیان، ح.<sup>۱</sup>؛ احدی اخلاقی، ا.<sup>۲</sup>؛ چهارسوقی، م.<sup>۳</sup>؛ گوهری منش، م.<sup>۳</sup>؛ یزدانی مقدم، ف.<sup>۴</sup>؛ عبدالله‌پور، د.<sup>۴</sup>؛\*

<sup>۱</sup>دانشکده فیزیک، دانشگاه تحصیلات تکمیلی در علوم پایه زنجان، زنجان، ایران

<sup>۲</sup>پژوهشکده اپتیک، دانشگاه تحصیلات تکمیلی در علوم پایه زنجان، زنجان، ایران

<sup>۳</sup>گروه زیست‌شناسی، دانشکده علوم، دانشگاه فردوسی مشهد، مشهد، ایران

<sup>۴</sup>گروه نوآوری‌های زیستی جانوری، مرکز پژوهشی جانورشناسی کاربردی، دانشگاه فردوسی مشهد، ایران

\*Email: dabdollahpour@iasbs.ac.ir

میکروسکوپی لایه نوری، به‌عنوان یکی از روش‌های جدید و کارآمد تصویربرداری سه‌بعدی غیرتهاجمی، از چند سال پیش به‌شدت مورد توجه محققان قرار گرفته است. در این گزارش ضمن معرفی مزایا و کاربردهای این میکروسکوپ، تصاویر سه‌بعدی ضبط شده از ساختار استخوانی در سر و دم نمونه‌های ماهی قزل‌آلای رنگین‌کمانی نشان داده خواهد شد. با استفاده از این چیدمان موفق به تصویربرداری از نمونه‌های ۲ تا ۳ میلی‌متری با تفکیک‌پذیری عرضی  $1.5 \mu m$  و طولی  $2.9 \mu m$  شده‌ایم. با استفاده از تصاویر سه‌بعدی به دست آمده ساختاری کلی استخوان‌ها در سر و دم ماهی به‌سادگی قابل مشاهده بوده و قادر به تشخیص دو ساختار استخوانی از دو عمق متفاوت هستیم که با میکروسکوپ‌های عادی قابل تشخیص نیست.

**کلمات کلیدی:** میکروسکوپ لایه نوری، تصویربرداری سه‌بعدی، قزل‌آلای رنگین‌کمان.

### مقدمه:

امروزه نیاز هم‌زمان به تفکیک‌پذیری فضایی بالا به‌منظور مشاهده ظریف‌تر ساختارهای زیستی و تفکیک‌پذیری زمانی مطلوب، به دلیل دنبال کردن فرآیندهای زیستی، موجب شده تا کاستی‌های میکروسکوپ‌های نوری موجود بیش‌ازپیش روشن شود. پیشرفت‌های به‌دست‌آمده در میکروسکوپ‌های لایه نوری که تنها اندکی بیش از یک دهه از معرفی آن‌ها می‌گذرد، محققان را بر این باور رسانده است که این ابزارها توانایی‌های موردنیاز را در اختیار زیست‌پژوهان قرار خواهد داد. میکروسکوپ لایه نوری بر اساس نوردهی صفحه‌ای و ثبت تصاویر دوبعدی مربوط به هر صفحه استوار است. با لایه‌بندی نوری تمام نمونه از طریق روبش آن با صفحه نوریو کنارهم قرار دادن تصاویر دوبعدی ضبط‌شده، تصویر سه‌بعدی نهایی حاصل می‌شود. یکی از اولین به‌کارگیری‌های این میکروسکوپ در تهیه تصاویر سه‌بعدی از نمونه‌های زیستی توسط هویسکین<sup>۷</sup> و همکارانش در سال ۲۰۰۴، با ضبط تصاویری از نمونه‌های درشت مقیاس (میلی‌متری) شامل، مگس سرکه و مداکا<sup>۸</sup> صورت گرفت [1]. یکی از کاربردهای شاخص میکروسکوپ لایه نوری امکان تصویربرداری در لحظه است. تصویربرداری سریع از تحرکات سریع سلول‌ها در جنین و ارگانیزم‌های کوچک مانند مهاجرت سلول‌ها، رشد تحول و قلب، جریان خون و توسعه عروق نمونه‌هایی از این مورد هستند. به‌عنوان مثالی توان به ضبط تصاویر مربوط به تپش قلب ماهی زیرا با تفکیک‌پذیری بسیار بالا (در این تصاویر گلبول‌های قرمز خون نیز قابل مشاهده هستند) اشاره نمود [2]. از ویژگی‌های بارز این میکروسکوپ تصویربرداری‌های طولانی‌مدت از نمونه‌های

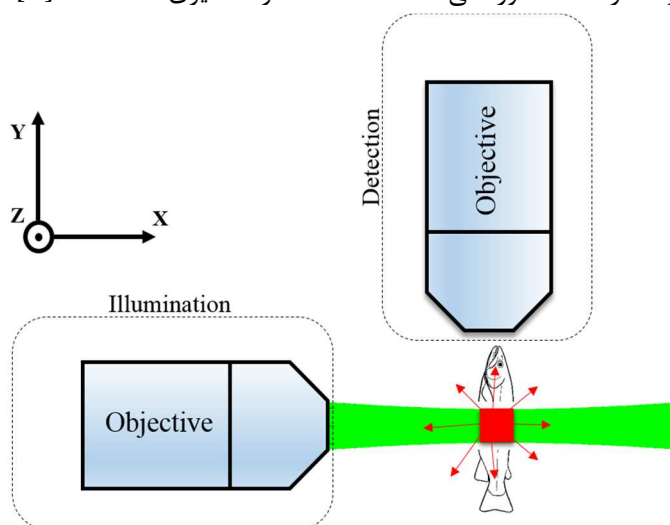
<sup>7</sup>Huisken

<sup>8</sup>Medaka

زنده بدون آسیب رساندن به آن‌ها است. استلزر<sup>9</sup> و همکاران تحولات ریشه‌ای گیاهیو فعل انفعال میان سلول‌های گیاه و میکروب‌های موجود در خاکِ احاطه‌کننده آن را، برای سه تا پنج روز بررسی نمودند [3]. در دهه ۸۰ میلادی هنگامی که جان سالتون<sup>10</sup> بر روی کرم *C. elegans* مطالعه می‌نمود برای تعقیب کردن تقسیم‌های سلولی درحین رشد، نیازمند بیش از یک سال زمان بود. امروزه به‌دلیل سرعت بالای تصویربرداری میکروسکوپ‌های لایه نوری این زمان تنها به ۱۴ ساعت کاهش یافته‌است [4]. قابلیت‌های ویژه این میکروسکوپ امیدواری‌های فراوانی را نزد محققان حوزه علوم اعصاب در درک نحوه عملکرد مغز ایجاد نموده است. امکان بررسی تمام مغز با تفکیک‌پذیری بسیار بالا، قابلیت‌ای است که ابزارهای کنونی مورد استفاده دارا نیستند. این امر موجب گسترش روزافزون استفاده از این ابزار در این حوزه است. به‌عنوان نمونه محققان موفق شده‌اند با استفاده از میکروسکوپ لایه نوربیش از ۸۰٪ نورون‌های مغز ماهی زیر را رصد نموده و هم‌پوشانی بین نواحی مختلف مغز و مسیرهای نورونی را با تفکیک‌پذیری در حدود ۰٫۱ اندازه‌نورون‌ها مشاهده نمایند [5-7].

### مواد و روش‌ها:

نمونه‌های موردبررسی قرار گرفته توسط میکروسکوپ چیده شده، سر ماهی قزل‌آلا ۵ و ۱۰ روزه و دم ماهی‌های ۲۸ روزه، با حداکثر طول تصویربرداری شده ۳ میلی‌متر هستند که در تمامی آن‌ها برچسب‌گذاری فلورسانسی صورت گرفته‌است. پس از شفاف‌سازی‌های لازم، ستون فقرات نمونه‌ها توسط رنگ‌دانه فلورسانسی *Alizarin Red* رنگ‌آمیزی شده است [8].



(شکل ۱) چیدمان میکروسکوپ لایه نوری. نوردهی هم‌سو با محور  $x$  و لایه نوری تشکیل‌شده در صفحه  $x-z$  و هم‌چنین آشکارسازی در امتداد محور  $y$  است. باریکه سبزرنگ‌نشان‌دهنده باریکه لیزر است. ناحیه قرمز رنگ مربوط به تابش فلورسانسی بوده و فلش‌های قرمز رنگ نور فلورسانسی تابشی است.

شکل ۱ چیدمان مورد استفاده و نحوه قرارگیری نمونه را نشان می‌دهد. ضخامت لایه نوری تشکیل‌شده حدود  $10\ \mu\text{m}$  است. عدسی شیئی مورد استفاده در بخش آشکارسازی مشابه با عدسی شیئی نوردهی است. برای جبران کردن شکست نور در اثر عدم هماهنگی میان ضریب شکست ماهی و هوا، نمونه‌ها با *PDMS* و یا روغن احاطه شده‌اند. تفکیک‌پذیری عرضی حاصل شده در

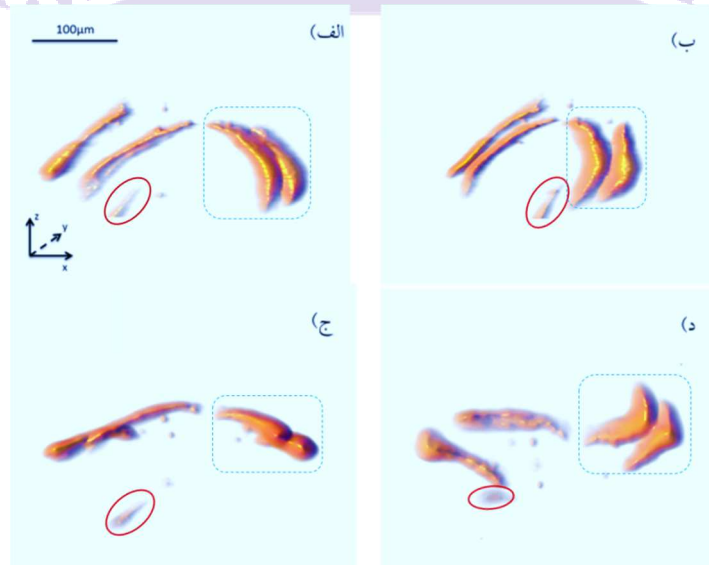
<sup>9</sup>Stelzer

<sup>10</sup>John Salton

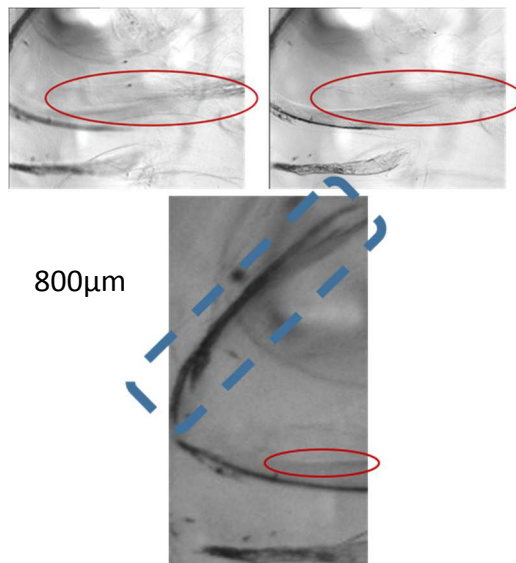
تصاویر حدود  $5\ \mu m$ ، و تفکیک پذیری طولی در حدود  $2,9\ \mu m$  است.

**نتایج و بحث:**

همان‌طور که پیش‌تر بیان شد نمونه‌های موردبررسی قرارگرفته شامل ماهی‌های ۵، ۱۰ و ۲۸ روزه هستند. شکل ۲ تصاویر سه‌بعدی ثبت‌شده از سر ماهی ۵ روزه را از چند زاویه متفاوت نشان می‌دهد.

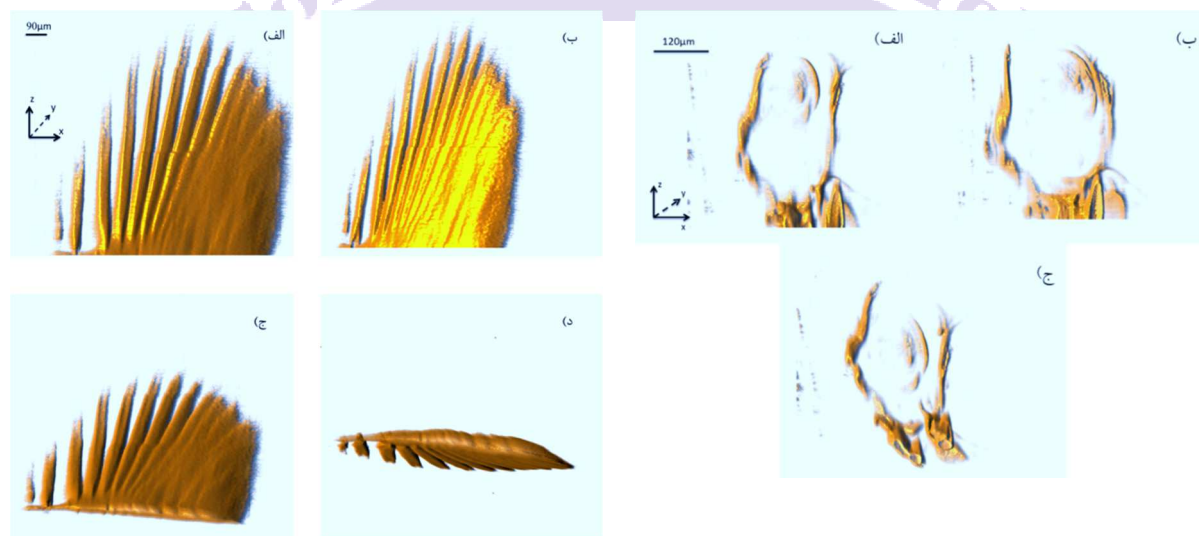


(شکل ۲) تصاویر سه بعدی ثبت شده از سر ماهی ۵ روزه از چند زاویه متفاوت.  
الف) صفحه  $X-Z$  (ب)  $45^\circ$  درجه چرخش نسبت به محور  $Z$   
ج)  $45^\circ$  درجه چرخش نسبت به محور  $X$  (د) صفحه  $X-Y$



به‌منظور فهم بهتری از مزایای تصاویر گرفته‌شده به کمک این میکروسکوپ و مقایسه آن با میکروسکوپ‌های نوری رایج، در شکل

۳ تصویر ضبط‌شده با میکروسکوپ نوری عادی از این نمونه نمایش داده شده است. شکل ۲ به وضوح حاکی از وجود دو استخوان در دو ناحیه مشخص‌شده با مستطیل آبی و بیضی قرمز رنگ، بر روی یکدیگر است. در شکل ۳ این دو ناحیه با همان ترتیب مشخص‌شده در شکل ۲ نمایش داده شده‌اند. همان‌گونه که در این شکل دیده می‌شود مشاهده هم‌زمان هر دو استخوان میسر نیست و پی بردن به وجود دو استخوان تنها با تغییر عمق کانون ممکن است (که با از دست دادن وضوح از عمق یا استخوان دیگر همراه است).



(شکل ۴) تصاویر ضبط‌شده با میکروسکوپ لایه نوری، متعلق به (شکل ۵) تصاویر ضبط‌شده با میکروسکوپ لایه نوری، متعلق به دم سر ماهی ۱۰ روزه. الف) صفحه  $X-Z$  (ب)  $45^\circ$  درجه چرخش نسبت به محور  $Z$  (ج)  $45^\circ$  درجه چرخش نسبت به محور  $X$  (د) صفحه  $X-Y$  (ه) صفحه  $X-Z$  (الف) صفحه  $X-Z$  (ب)  $45^\circ$  درجه چرخش نسبت به محور  $Z$  (ج)  $45^\circ$  درجه چرخش نسبت به محور  $X$  (د) صفحه  $X-Y$  (ه) صفحه  $X-Z$

شکل ۴ و ۵ به ترتیب تصاویر ضبط‌شده با میکروسکوپ لایه نوری متعلق به سر ماهی ۱۰ روزه و دم ماهی ۲۸ روزه هستند. طول عمق تصاویر ضبط‌شده با این چیدمان به دلیل محدودیت فاصله کارکرد عدسی شیئی آشکارسازی در محدوده ۲ تا ۳ میلی‌متر هستند.

### نتیجه‌گیری کلی

میکروسکوپ‌های لایه نوری امکان تصویربرداری سه‌بعدی، در لحظه، از نمونه‌های درشت مقیاس با تفکیک‌پذیری فضایی و زمانی بالا بدون آسیب رساندن به نمونه‌ها را، فراهم می‌آورد. این ابزار نسبت به سایر میکروسکوپ‌هایی که قادر به تصویربرداری از عمق می‌باشند دارای سرعت بالاتری است. در این گزارش ضمن معرفی و مقایسه این میکروسکوپ‌ها با شیوه‌های رایج، به اختصار نحوه چینش میکروسکوپ لایه نوری ایستا شرح داده شد و تصاویر سه‌بعدی تهیه‌شده از نمونه‌های فلورسانتی ماهی قزل‌آلا نشان داده شد. تصاویر سه‌بعدی ضبط‌شده از نمونه‌های میلی‌متری، دارای تفکیک‌پذیری طولی و عرضی میکرونی هستند. تصاویر ضبط‌شده گویای برخی از جزئیاتی چون وجود استخوان‌ها بر روی یکدیگر هستند که این اطلاعات با میکروسکوپ‌های عادی قابل تشخیص نیست.



## منابع:

۱. گوهری منش، مونا؛ «مطالعه‌ی سیر تکوین بخش‌های سر ماهی قزل‌آلای رنگین‌کمان بر اساس شاخص‌های ریخت‌شناسی و ریخت‌سنجی»؛ پایان‌نامه کارشناسی ارشد؛ دانشگاه فردوسی مشهد؛ زمستان ۹۳.
2. Huisken, Jan., et al. 2004. Optical Sectioning Deep Inside Live Embryos by Selective Plane Illumination Microscopy: *Science*, 305(5686), 1007-1009.
3. Mickoleit, Michaela., et al. 20014. High-resolution reconstruction of the beating zebrafish heart: *Nature Methods*.
4. Vermeer, Joop Skeletal., et al. 20014. A spatial accommodation by neighboring cells is required for organ initiation in Arabidopsis. *Science*, 343(6167), 178-183.
5. Wu, Yicong., et al. 2011. Inverted selective plane illumination microscopy (iSPIM) enables coupled cell identity lineaging and neurodevelopmental imaging in *Caenorhabditis elegans*: *Proceedings of the National Academy of Sciences*, 108(43), 17708-17713.
6. Vladimirov, Nikita., et al. 2014. Light-sheet functional imaging in fictively behaving zebrafish: *Nature Methods*.
7. Ahrens, Misha., et al. 2013. Whole-brain functional imaging at cellular resolution using light-sheet microscopy: *Nature methods*, 10(5), 413-420.
8. Keller, Philipp J., et al. 2015. Light-sheet imaging for systems neuroscience: *Science*, 12(1), 27-29.